Elettromagnetismo

Prof. Francesco Ragusa Università degli Studi di Milano

Lezione n. 32 - 27.04.2023

Proprietà magnetiche della materia Momenti angolari e momenti magnetici Modelli microscopici qualitativi Diamagnetismo

Anno Accademico 2022/2023

- ullet Nello studio del circuito LC abbiamo visto un esempio di fenomeno in cui le grandezze elettromagnetiche variano nel tempo
 - In particolare variavano nel tempo la carica sulle armature e la corrente nel circuito
 - Dobbiamo pertanto considerare variabili nel tempo sia la densità di carica ρ che la densità di corrente J
 - Abbiamo visto che deve essere soddisfatta la conservazione locale della carica: equazione di continuità

$$\mathbf{\nabla}\cdot\mathbf{J}ig(\mathbf{r},tig)=-rac{\partial
hoig(\mathbf{r},tig)}{\partial t}$$

 Pertanto nello studio di fenomeni elettromagnetici variabili nel tempo dobbiamo assumere che in generale

$$\nabla \cdot \mathbf{J}(\mathbf{r}, t) \neq 0$$

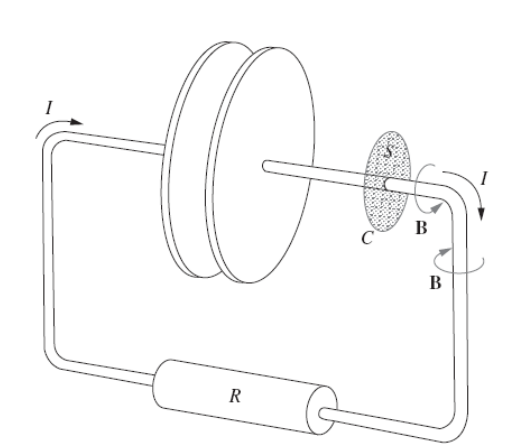
 Abbiamo formulato la legge di Ampère in forma differenziale fissando il rotore del campo magnetico

$$\nabla \times \mathbf{B} = \mu_0 \mathbf{J}$$

- Ma la divergenza di un rotore è sempre nulla
- L'equazione precedente è pertanto inconsistente quando i fenomeni elettromagnetici non sono stazionari

- Lo stesso tipo di contraddizione può essere visto in un altro modo
 - Ad esempio durante la scarica (o carica) di un condensatore
 - Durante l'evoluzione del fenomeno una corrente scorre nel filo
 - La corrente genera un campo magnetico
 - Calcoliamo la circuitazione del campo magnetico e applichiamo il Teorema di Stokes

$$\oint_C \mathbf{B} \cdot d\mathbf{l} = \int_S \mathbf{\nabla} \times \mathbf{B} \cdot d\mathbf{a}$$



- La superficie più ovvia è quella indicata in figura
 - Il filo attraversa la superficie
 - Nel filo è presente una densità di corrente

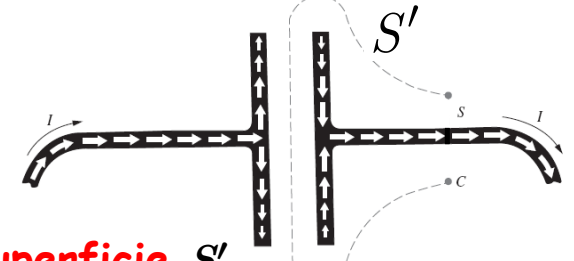
$$\nabla \times \mathbf{B} = \mu_0 \mathbf{J}$$
 $\oint_C \mathbf{B} \cdot d\mathbf{l} = \mu_0 \int_S \mathbf{J} \cdot d\mathbf{a}$ $\oint_C \mathbf{B} \cdot d\mathbf{l} = \mu_0 I$

$$\oint_C \mathbf{B} \cdot d\mathbf{l} = \mu_0 I$$

- Questa è la legge di Ampère
- Tuttavia abbiamo dimostrato che possiamo scegliere qualunque superficie che abbia lo stesso contorno C

ullet Possiamo scegliere ad esempio la superficie S'

$$\oint_{C} \mathbf{B} \cdot d\mathbf{l} = \int_{S'} \mathbf{\nabla} \times \mathbf{B} \cdot d\mathbf{a} = \mu_0 \int_{S'} \mathbf{J} \cdot d\mathbf{a} = 0$$



- ullet Tuttavia nessuna densità di corrente interseca la superficie S'
 - Due risultati diversi che mostrano che l'equazione del rotore è incompleta
- Dobbiamo pertanto concludere che qualcos'altro contribuisce al rotore di ${f \nabla} imes {f B} = \mu_{
 m o} {f J} + {f ?}$
 - ullet Deve esistere un termine aggiuntivo il cui flusso attraverso S' non sia nullo
- ullet Occorre aggiungere un termine che compensi il fatto che $abla\cdot J\neq 0$
- Esaminiamo l'equazione di continuità $\boldsymbol{\nabla}\cdot\mathbf{J}\!\left(\mathbf{r},t\right)=-\frac{\partial\rho\left(\mathbf{r},t\right)}{\partial t}$
- Ricordiamo che la legge di Gauss vale anche nel caso dinamico

$$\begin{split} \boldsymbol{\nabla} \cdot \mathbf{E}(\mathbf{r},t) &= \frac{\rho(\mathbf{r},t)}{\varepsilon_0} \quad \rho(\mathbf{r},t) = \varepsilon_0 \boldsymbol{\nabla} \cdot \mathbf{E}(\mathbf{r},t) \\ \boldsymbol{\nabla} \cdot \mathbf{J} \left(\mathbf{r},t \right) &= -\frac{\partial \varepsilon_0 \boldsymbol{\nabla} \cdot \mathbf{E} \left(\mathbf{r},t \right)}{\partial t} \quad = -\varepsilon_0 \boldsymbol{\nabla} \cdot \frac{\partial \mathbf{E} \left(\mathbf{r},t \right)}{\partial t} \end{split}$$

$$\mathbf{\nabla} \cdot \mathbf{J}(\mathbf{r}, t) = -\varepsilon_0 \mathbf{\nabla} \cdot \frac{\partial \mathbf{E}(\mathbf{r}, t)}{\partial t}$$

• Pertanto otteniamo

$$\nabla \cdot \left[\mathbf{J}(\mathbf{r}, t) + \varepsilon_0 \frac{\partial \mathbf{E}(\mathbf{r}, t)}{\partial t} \right] = 0$$

- La combinazione di campi che abbiamo scritto ha divergenza nulla
 - Può essere uguagliata al rotore di un campo vettoriale senza generare inconsistenze
 - Soddisfa automaticamente l'equazione di continuità
- Modifichiamo pertanto l'equazione del rotore di B

$$\nabla \times \mathbf{B} = \mu_0 \mathbf{J} + \mathbf{?}$$
 $\nabla \times \mathbf{B} = \mu_0 \mathbf{J} + \mu_0 \varepsilon_0 \frac{\partial \mathbf{E}(\mathbf{r}, t)}{\partial t}$

- ullet Notiamo che il campo magnetico può esistere anche se ${
 m J}=0$
 - Può essere generato dalla variazione del campo elettrico
 - L'analogo della legge di Faraday per il campo elettrico

Equazioni di Maxwell

• Scriviamo le equazioni di Maxwell nella loro forma finale

$$\begin{array}{c} \boldsymbol{\nabla}\cdot\mathbf{E}=\frac{\rho}{\varepsilon_{_{0}}} & \quad \boldsymbol{\nabla}\cdot\mathbf{B}=0 \\ \boldsymbol{\nabla}\times\mathbf{E}=-\frac{\partial\mathbf{B}}{\partial t} & \quad \boldsymbol{\nabla}\times\mathbf{B}=\mu_{_{0}}\mathbf{J}+\mu_{_{0}}\varepsilon_{_{0}}\frac{\partial\mathbf{E}}{\partial t} \\ \text{• Vanno completate con} & \quad \boldsymbol{Dalla quarta equazione discende che} \\ \mathbf{F}=q\left(\mathbf{E}+\mathbf{v}\times\mathbf{B}\right) & \quad \boldsymbol{\nabla}\cdot\mathbf{J}=-\frac{\partial\rho}{\partial t} & \quad \text{equazione di continuità} \end{array}$$

$$\mathbf{F} = q(\mathbf{E} + \mathbf{v} \times \mathbf{B})$$

$${f
abla} \cdot {f J} = -rac{\partial
ho}{\partial t}$$
 equazione di continuità

- Ricordiamo che il teorema di Helmholtz assicura che la conoscenza della divergenza e del rotore definiscono completamente il campo (diapositiva 94)
 - Per fissate condizioni al contorno, ad esempio all'infinito
- Nelle condizioni statiche le sorgenti sono
 - La carica elettrica per il campo elettrico
 - La corrente per il campo magnetico
- Quando i campi variano nel tempo
 - Un campo magnetico variabile genera un campo elettrico
 - Un campo elettrico variabile genera un campo magnetico
- L'ultimo contributo è stato introdotto da Maxwell su basi teoriche
 - Vediamo come funziona l'ultimo termine con due esempi

Il termine di Maxwell all'opera

- ullet Supponiamo di avere una sfera di carica Q che genera un flusso di corrente radiale
 - Per l'equazione di continuità in forma integrale

$$\oint_{S} \mathbf{J} \cdot d\mathbf{a} = -\frac{\partial}{\partial t} \int_{V} \rho dV \quad j(r) 4\pi r^{2} = -\frac{dQ(r)}{dt}$$

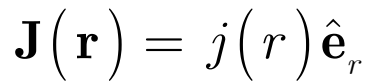
- La corrente dovrebbe generare un campo magnetico
 - ullet Se utilizziamo il cammino Γ in figura dovremmo avere

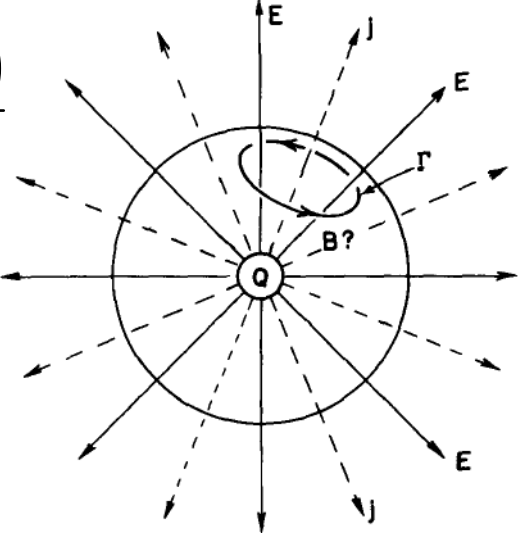
$$\oint_{\Gamma} \mathbf{B} \cdot d\mathbf{l} = \mu_0 j(R) \cdot S$$



- Il flusso di J però è diverso da zero
- La contraddizione viene risolta dal termine aggiuntivo di Maxwell
 - Infatti la sfera di carica genera un campo elettrico

$$E = \frac{1}{4\pi\varepsilon_0} \frac{Q(r)}{r^2}$$





Il termine di Maxwell all'opera

 Dal momento che la carica varia, anche il campo sarà variabile nel tempo

$$\frac{\partial E}{\partial t} = \frac{1}{4\pi\varepsilon_{0}r^{2}} \frac{\partial Q(r)}{\partial t}$$

Esaminiamo l'equazione di Maxwell

$$\mathbf{\nabla} \times \mathbf{B} = \mu_0 \mathbf{J} + \mu_0 \varepsilon_0 \frac{\partial \mathbf{E}}{\partial t}$$

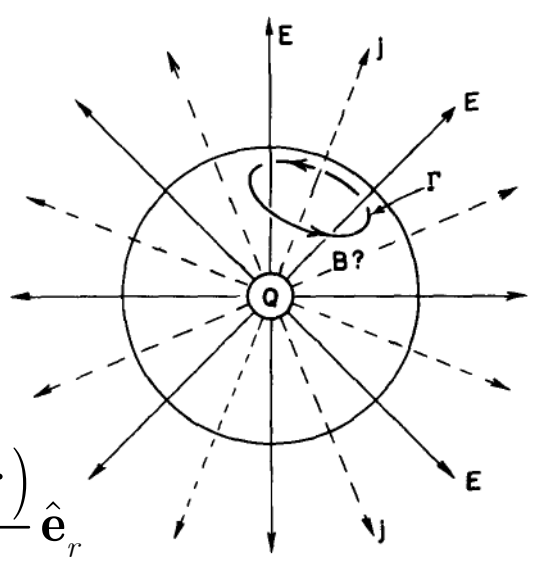
ullet Calcoliamo ${
m J}$ e $\partial {
m E}/\partial t$

$$\mathbf{J}(r) = -\frac{1}{4\pi r^2} \frac{dQ(r)}{dt} \hat{\mathbf{e}}_r \quad \frac{\partial \mathbf{E}}{\partial t} = \frac{1}{4\pi \varepsilon_0 r^2} \frac{\partial Q(r)}{\partial t} \hat{\mathbf{e}}_r$$

• Inserendo nell'equazione di Maxwell troviamo
$$\boldsymbol{\nabla}\times\mathbf{B}=\mu_{0}\mathbf{J}+\mu_{0}\varepsilon_{0}\frac{\partial\mathbf{E}}{\partial t}=-\frac{\mu_{0}}{4\pi r^{2}}\frac{dQ\left(r\right)}{dt}\hat{\mathbf{e}}_{r}+\frac{\mu_{0}\varepsilon_{0}}{4\pi\varepsilon_{0}r^{2}}\frac{dQ\left(r\right)}{dt}\hat{\mathbf{e}}_{r}=0$$

- Pertanto il campo magnetico è nullo nonostante l'esistenza di una corrente
- Come richiesto dalla simmetria

$$j(r)4\pi r^2 = -\frac{dQ(r)}{dt}$$



Il termine di Maxwell all'opera

- Il secondo esempio è quello del condensatore
 - Lo abbiamo utilizzato per convincerci che mancava qualcosa
 - Andando vicino al filo il campo magnetico è

$$\oint_{\Gamma} \mathbf{B} \cdot d\mathbf{l} = \mu_0 \int_{S_1} \mathbf{J} \cdot d\mathbf{a} = \mu_0 i \quad B = \frac{\mu_0 i}{2\pi r}$$

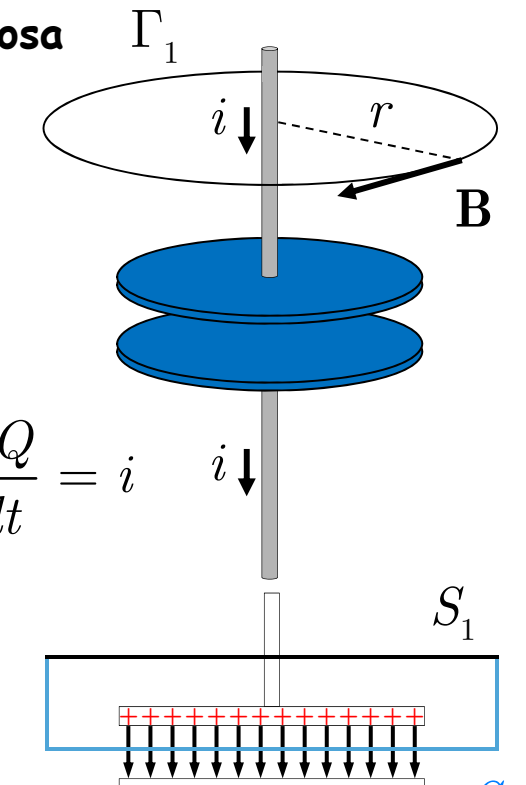
- \bullet Tuttavia se si sceglie la superficie S_2 , anch'essa concatenata con Γ_1 si trova ovviamente i=0
- Naturalmente l'esistenza di una corrente implica che anche la carica sulle armature del condensatore cambi
 - Se la carica sulle armature varia nel tempo varia anche il campo elettrico fra le armature
 - ullet Calcoliamo il flusso di ${f E}$ attraverso S_2

$$\int_{S_2} \mathbf{E} \cdot d\mathbf{a} = \frac{Q}{\varepsilon_0} \longrightarrow \int_{S_2} \frac{\partial \mathbf{E}}{\partial t} \cdot d\mathbf{a} = \frac{1}{\varepsilon_0} \frac{dQ}{dt} = \frac{i}{\varepsilon_0}$$

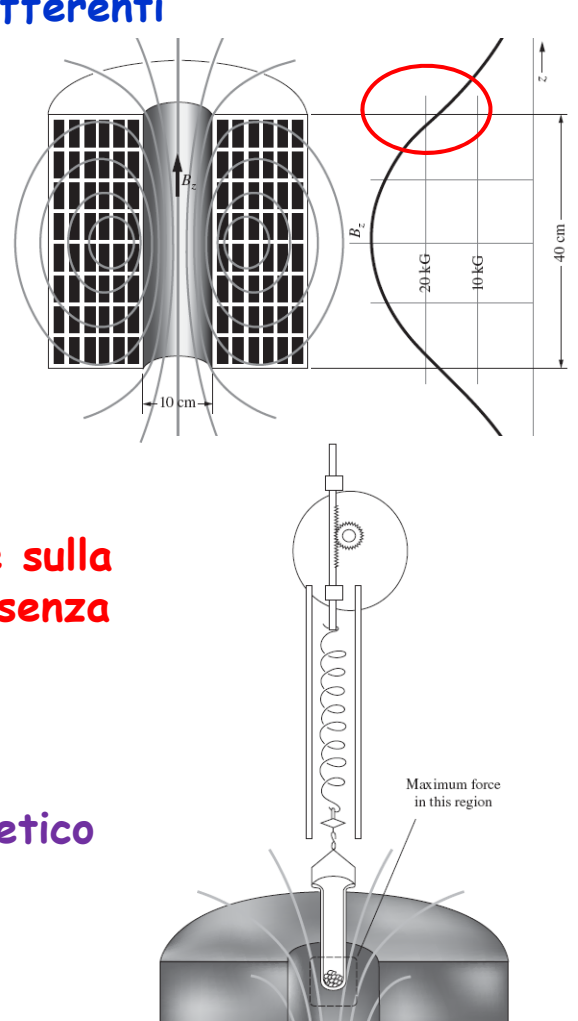
Esaminiamo l'equazione di Maxwell

$$\mathbf{\nabla} \times \mathbf{B} = \mu_0 \mathbf{J} + \mu_0 \varepsilon_0 \frac{\partial \mathbf{E}}{\partial t}$$

Il nuovo termine contribuisce esattamente come il filo



- La materia può esibire proprietà magnetiche molto differenti
 - Iniziamo con una classificazione dei materiali sulla base delle loro proprietà
 - Supponiamo di avere un solenoide in grado di produrre campi magnetici molto intensi
 - Diciamo dell'ordine del Tesla
 - Un solenoide del tipo rappresentato in figura potrebbe avere le seguenti caratteristiche:
 - Campo massimo. Al centro, di circa 3 Tesla
 - Cilindro interno h = 40 cm $\varnothing = 10 \text{ cm}$
 - \bullet Con un simile magnete si possono effettuare misure sulla forza magnetica che agisce su vari materiali in presenza di un campo magnetico esterno B
 - Si scopre che si esercita una forza solamente quando il campo magnetico non è uniforme
 - La forza dipende dal gradiente del campo magnetico
 - Nell'esempio, il gradiente è più elevato all'ingresso del magnete
 - ullet Si ha un gradiente di circa $-17~\mathrm{T/m}$
 - Il campo è di circa 1.8 T



• Con l'apparato precedente si possono studiare vari materiali

ullet La tabella riporta esercitata su un campione di $1~{
m Kg}$

Force per kilogram near the upper end of the coil in our experiment, where $B_z = 1.8$ tesla and $dB_z/dz = 17$ tesla/m

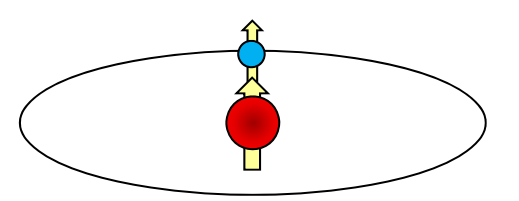
where $B_z=1.8$ tesia and $dB_z/dz=1/$ tesia/m			
Substance	Formula	Force (newtons)	Maximum force
Diamagnetic			Maximum force
Water	H_2O	-0.22	in this region
Copper	Cu	-0.026	\mathbf{F}
Sodium chloride	NaCl	-0.15	
Sulfur	S	-0.16	
Diamond	C	-0.16	
Graphite	С	-1.10	
Liquid nitrogen	N_2	-0.10 (78 K)	
Paramagnetic			
Sodium	Na	0.20	
Aluminum	Al	0.17	
Copper chloride	CuCl ₂	2.8	\mathbf{F}
Nickel sulfate	$NiSO_4$	8.3	T.
Liquid oxygen	O_2	75 (90 K)	1
Ferromagnetic			•
Iron	Fe	4000	
Magnetite	Fe ₃ O ₄	1200	

- È evidente che una teoria degli effetti magnetici della materia deve essere piuttosto complessa
 - Per una classe di materiali le forze sono deboli
 - Le forze sono proporzionali al quadrato del campo
 - Per i materiali diamagnetici
 - Vengono "respinti" dal magnete
 - Per i materiali paramagnetici
 - Vengono "attratti" dal magnete
 - Nella tabella precedente le forze sono riferite a una massa di 1 Kg
 - Forze di 0.1 $1\,$ N contro una forza peso di $9.8\,$ N
 - L'ossigeno liquido è una tipologia differente (bassa temperatura)
 - Per una classe di materiali le forze sono molto intense
 - Le forze sono lineari con l'intensità del campo
 - Materiali ferromagnetici
 - Sono "attratti" dal magnete
 - Un Kg di ferro risente di una forza magnetica di 4000 N
 - Pari ad una forza peso di $400~{\rm Kg}$

- Materiali diamagnetici
 - Si scopre che tutte le sostanze sono soggette a questo tipo di forza repulsiva
 - Dipende dal quadrato della corrente del solenoide
 - È l'unico effetto per le sostanze organiche e per molti composti inorganici
 - Praticamente indipendente dalla temperatura
- Materiali paramagnetici
 - Per molte sostanze questa forza attrattiva risulta comunque debole
 - Dipende dal quadrato della corrente del solenoide
 - Ad esempio per metalli come sodio, alluminio
 - Per alcuni composti è un po' più intensa
 - NiSO₄, CuCl₂
 - La forza aumenta se la temperatura diminuisce
- Materiali ferromagnetici
 - La forza è attrattiva ed è molto intensa
 - Dipende linearmente dalla corrente del solenoide
 - Fra i principali materiali ferromagnetici sono il ferro, il nichel e il cobalto

- Vale la pena fare una considerazione sugli aspetti di natura energetica
 - Le energie in gioco per i fenomeni diamagnetici e paramagnetici sono piuttosto piccole
 - Questo è vero anche a livello microscopico
 - Consideriamo ad esempio i dati dell'ossigeno liquido riportati in tabella
 - Facciamo riferimento al metodo di misura descritto
 - ullet Supponiamo di volere allontanare il campione (1 ${
 m Kg}$ di sostanza) per portarlo fuori dall'effetto del campo magnetico
 - Diciamo allontanarlo di 10 cm
 - ullet Per opporsi alla forza di $75~\mathrm{N}$ il lavoro necessario è circa $7.5~\mathrm{Joules}~(\sim 10~\mathrm{J})$
 - In 1 Kg di O_2 ci sono circa 2×10^{25} molecole
 - ullet L'ordine di grandezza dell'energia per molecola è $10^{-24} \, \mathrm{Joules}$
 - ullet Per confronto, per vaporizzare 1 ${
 m Kg}$ di ${
 m O_2}$ liquido occorrono $\sim 2.1{ imes}10^5~{
 m Joules}$
 - Circa 10^{-20} Joules per molecola
- Si vede pertanto che i fenomeni diamagnetici o paramagnetici mettono in gioco energie molto più piccole di una transizione di fase
 - Non influenzano reazioni chimiche o processi biochimici
- Un esame NMR non ha nessun effetto collaterale (occorre però prestare attenzione a impianti/protesi ferromagnetiche)

- Abbiamo già sottolineato che non si sono mai trovate cariche magnetiche
 - Abbiamo finora studiato il magnetismo nel vuoto
 - Anche studiando il magnetismo nella materia non si è mai trovata evidenza di monopoli magnetici
 - I monopoli sono stati cercati in molti modi e il risultato di queste ricerche è che se esistono sono molto rari
- Assumiamo pertanto che nella materia non esistano cariche magnetiche
 - Le equazioni del campo ${\bf B}$ sono pertanto ${\bf \nabla} \cdot {\bf B} = 0 \qquad {\bf \nabla} \times {\bf B} = \mu_0 {\bf J} + \mu_0 \varepsilon_0 \frac{\partial {\bf E} \big({\bf r},t\big)}{\partial t} \qquad {\bf \nabla} \times {\bf B} = \mu_0 {\bf J}$
 - Pertanto l'origine delle proprietà magnetiche della materia è da ricercare nell'esistenza di correnti a livello microscopico
 - Correnti atomiche dovute al moto orbitale degli elettroni
 - Classicamente l'elettrone orbita intorno al nucleo e si può rappresentare come una spira percorsa da corrente

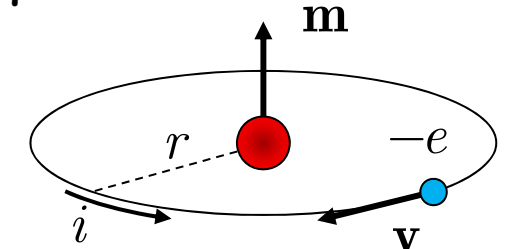




- Un dipolo magnetico
- C'è anche il momento magnetico intrinseco dell'elettrone, legato allo spin
 - Un effetto puramente quantistico
 - L'elettrone ha un momento angolare intrinseco

Correnti atomiche

- Vogliamo adesso utilizzare questo semplice modello atomico per cercare di comprendere qualitativamente le forze diamagnetiche
 - Una trattazione rigorosa richiederebbe la meccanica quantistica
 - ullet Assumiamo, anche se questo non è completamente corretto, che l'elettrone (q=-e) si muova in un'orbita circolare di raggio r intorno al nucleo



• La frequenza di rivoluzione è

$$f = \frac{v}{2\pi r}$$

- Pertanto la quantità di carica al secondo che attraversa un punto dell'orbita è $i=ef=e\frac{v}{2\pi r}$
 - Nel fissare il verso della corrente abbiamo tenuto conto del fatto che la carica dell'elettrone è negativa
 - Inoltre abbiamo trascurato il fatto che la carica sia puntiforme e l'abbiamo considerata uniformemente distribuita sulla circonferenza
- La corrente atomica descritta costituisce un dipolo magnetico

$$\mathbf{m} = i\pi r^2 = \frac{ev}{2\pi r}\pi r^2 = \frac{e}{2}vr$$

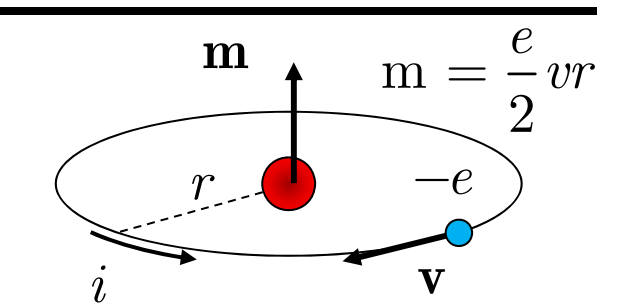
ullet Il momento magnetico ${f m}$ è perpendicolare al piano dell'orbita

Correnti atomiche

ullet Detta m_e la massa dell'elettrone il suo momento angolare orbitale \dot{ullet}

$$L = rm_e v$$





- ullet Anche il momento angolare orbitale L è perpendicolare al piano dell'orbita
- Confrontando le due espressioni si ottiene

$$\mathbf{m} = \frac{-e}{2m_e} \mathbf{L}$$

- Questa relazione vale anche quando l'orbita non è circolare
 - Vale anche in meccanica quantistica quando l'orbita classica non ha più senso
 - Notiamo che se la carica fosse positiva il momento magnetico e il momento angolare sarebbero paralleli
 - ullet La carica dell'elettrone è negativa e ${f L}$ e ${f m}$ sono anti-paralleli
- ullet Alcuni autori chiamano la quantità $e/2m_e$ rapporto giromagnetico dell'elettrone
 - La nomenclatura è confusa

Momenti angolari e momenti magnetici

- Anche al momento angolare intrinseco dell'elettrone è associato un momento magnetico
 - Tuttavia la costante di proporzionalità è differente

$$\mathbf{m} = g \frac{-e}{2m} \mathbf{S} \qquad g = 2$$

- Si tratta di un effetto puramente quantistico non spiegabile classicamente
 - ullet In particulare il fattore g=2
- Una cosa molto importante che va detta a proposito dei momenti angolari atomici è che non possono assumere tutti i valori con continuità
 - I valori possibili sono discreti (quantizzati)
 - La proiezione lungo un asse del momento angolare orbitale è un multiplo della costante di Planck

$$L_z = m\hbar \hspace{0.5cm} m = -l, -l+1, \ldots, l-1, l \hspace{0.5cm} \left| \mathbf{L} \right|^2 = l \left(l+1
ight) \hbar^2$$

• Il momento angolare intrinseco può assumere solo due valori

$$S_z = \pm \frac{1}{2}\hbar$$

• Di conseguenza anche i momenti magnetici atomici possono assumere solo valori discreti (quantizzati)

Momenti angolari e momenti magnetici

- Quando parliamo dell'atomo dobbiamo tenere conto che è un sistema composto da elettroni e nucleoni
 - Tuttavia i nucleoni sono molto più pesanti degli elettroni

$$m_{_p} \approx m_{_n} \sim 2000 \, m_{_e}$$

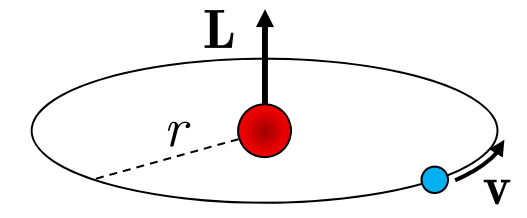
- Pertanto è di solito una buona approssimazione considerare l'elettrone sotto l'effetto di un campo coulombiano generato da una carica fissa in un punto dello spazio
 - Equivale a considerare infinita la massa del nucleone
- Per quanto riguarda lo spin dei nucleoni e il momento magnetico associato
 - ullet Il momento magnetico del protone è (g=2)

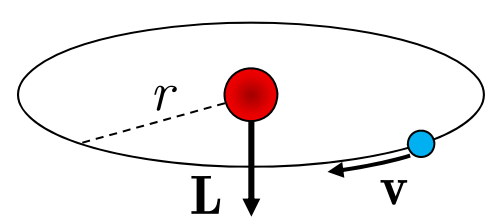
$$\mathbf{m} = \mu_p g \frac{e^{\gamma}}{2m_p} \mathbf{S}$$

- Notiamo che il rapporto giromagnetico del protone è circa 2000 volte più piccolo di quello dell'elettrone
- ullet Inoltre $\mu_p=2.793$
 - Deriva dal fatto che il protone è una particella composta di quark
- ullet Per il neutrone $\mu_{
 m n}=-1.913$
 - Nonostante il neutrone sia neutro!
- Nello studio del magnetismo nella materia i momenti magnetici nucleari sono trascurati

Momenti angolari e momenti magnetici

- La meccanica quantistica permetterà di formulare un modello dell'atomo che descrive in modo molto preciso le proprietà degli atomi
 - In particolare il momento angolare totale dell'atomo
 - E quindi anche il momento magnetico
 - Risulta che gli atomi e le molecole tendono ad avere un momento angolare nullo
 - I momenti angolari orbitali si cancellano
 - I momenti angolari intrinseci si cancellano (principio di Pauli)
 - In realtà questo avviene nelle molecole o quando il numero degli elettroni è pari
- In pratica la maggior parte delle sostanze hanno un momento angolare nullo
 - Per queste sostanze l'unico fenomeno magnetico è il diamagnetismo
- Cercheremo di capire il diamagnetismo studiando gli effetti di un campo magnetico esterno su un elettrone in un'orbita classica





Si ha momento angolare nullo con due orbite percorse in verso opposto

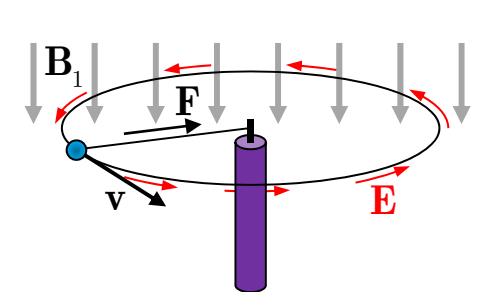
- ullet Supponiamo di avere una particella di massa M e carica q che compie un moto circolare uniforme in un'orbita di raggio r
 - La forza centripeta è fornita da una fune
 - ullet La tensione della fune è ${\bf F}_0$, la velocità ${\bf v}_0$

• Inizialmente
$$\mathbf{B} = \mathbf{0}$$
 $F_0 = M \frac{v_0^2}{r}$

- \bullet Supponiamo adesso di stabilire nella regione un campo magnetico B_{1} diretto come in figura
 - ullet Naturalmente dobbiamo passare da B=0 a B_1
 - Avremo una campo magnetico variabile nel tempo
 - Avremo anche un campo elettrico indotto
 - La variazione del flusso sull'orbita determina la circuitazione del campo elettrico indotto
 - Trascuriamo il segno che fisseremo alla fine con la legge di Lenz

$$\mathcal{E} = \frac{d\Phi}{dt} = \pi r^2 \frac{dB}{dt} \qquad \mathcal{E} = \oint_C \mathbf{E} \cdot d\mathbf{l} = 2\pi r E \qquad 2\pi r E = \pi r^2 \frac{dB}{dt}$$

$$E = \frac{r}{2} \frac{dB}{dt}$$

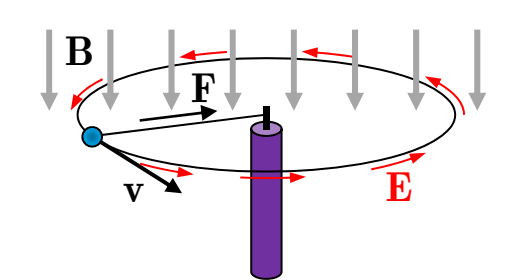


• Il campo elettrico indotto accelera l'elettrone

$$E = \frac{r}{2} \frac{dB}{dt}$$

$$M\frac{dv}{dt} = qE$$

$$E = \frac{r}{2}\frac{dB}{dt} \qquad M\frac{dv}{dt} = qE \qquad M\frac{dv}{dt} = \frac{r}{2}q\frac{dB}{dt}$$



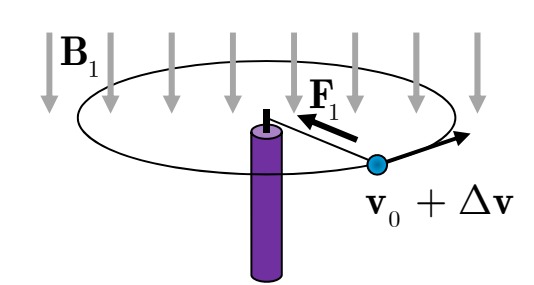
• L'equazione si integra facilmente

$$Mdv = \frac{r}{2}qdB$$

$$Mdv = \frac{r}{2}qdB$$

$$\int_{v}^{v+\Delta v} dv = \frac{r}{2M}q\int_{0}^{B_{1}} dB$$

$$\Delta v = \frac{qr}{2M} B_1$$



- La velocità è aumentata
- Se la velocità aumenta deve aumentare anche la forza centripeta

$$F_0
ightarrow F_1 = M rac{\left(v_0 + \Delta v
ight)^2}{r} pprox M rac{v_0^2}{r} + M rac{2v_0 \Delta v}{r} + Oig(\Delta v^2ig)$$

ullet Nei casi di interesse $\Delta v \ll v_{
m o}$

ullet Oltre alla tensione della fune abbiamo anche la forza di Lorentz: $\mathbf{F}_1 = \mathbf{F}_0 + \mathbf{F}_{\mathrm{m}}$

$$\mathbf{F}_{\mathrm{m}} = q\mathbf{v} \times \mathbf{B} \longrightarrow F_{\mathrm{m}} = q(v_{0} + \Delta v)B_{1}$$

$$F_{\mathrm{m}} = (v_{0} + \Delta v)\frac{2M\Delta v}{r}$$

 $\Delta v = \frac{qr}{2M} B_1$

ullet Trascuriamo ancora una volta i termini in Δv^2

$$F_{\rm m} = \underbrace{\frac{2Mv_0\Delta v}{r}}$$

 $qB_1 = \frac{2M\Delta v}{r}$

• Confrontiamo con il risultato della diapositiva precedente

$$F_1 pprox M rac{v_0^2}{r} + M rac{2v_0 \Delta v}{r}$$

- Vediamo l'interessante circostanza che il campo magnetico fornisce anche la necessaria forza centripeta aggiuntiva
 - Necessaria per mantenere il raggio dell'orbita costante
 - La tensione della fune non è cambiata
 - Non dipende dal tipo di forza che lega la particella
 - Funziona allo stesso modo con la legge di Coulomb

- Veniamo al segno della forza elettromotrice
 - ullet In linea di principio Δv potrebbe essere negativa indicando una decelerazione della carica









• Inizialmente il momento di dipolo è (vedi diapositiva 311)

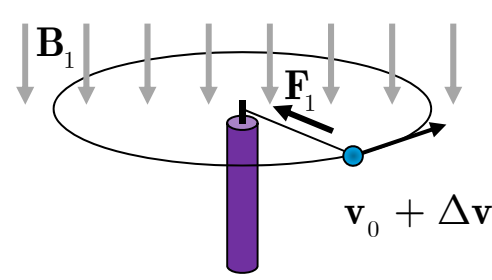
$$m_{_{\scriptscriptstyle 0}}=\frac{qr}{2}v_{_{\scriptscriptstyle 0}}$$

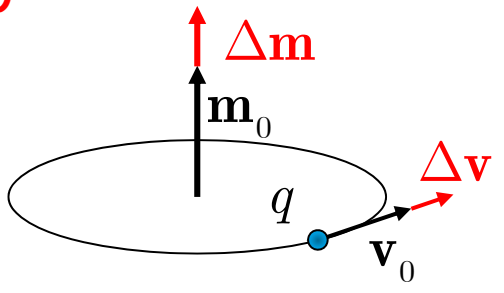
• Dopo l'accelerazione il momento è aumentato

$$\mathbf{m}_0 \to \mathbf{m}_0 + \Delta \mathbf{m} \qquad \Delta \mathbf{m} = \frac{qr}{2} \Delta v$$

• Dalle diapositive precedenti

$$\Delta v = \frac{qr}{2M}B_1 \qquad \Delta m = \frac{q^2r^2}{4M}B_1$$





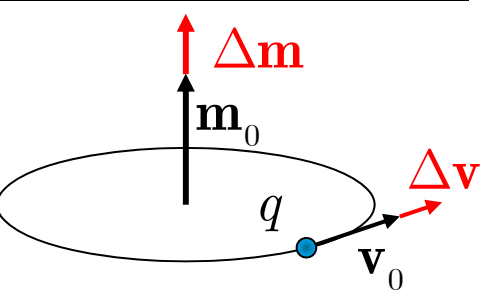
$$\Delta \mathbf{m} = rac{q^2 r^2}{4M} \mathbf{B}_1$$

- Vediamo pertanto che l'elettrone acquista un momento di dipolo magnetico aggiuntivo
 - ullet L'aumento Δm è anti-parallelo al campo applicato B_1

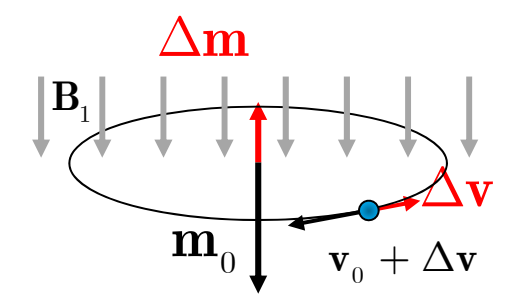




- \bullet Per la legge di Lenz la variazione di velocità deve generare una variazione di flusso opposta a quella causata da $B_{\scriptscriptstyle 1}$
 - ullet Δv e Δm come nel caso precedente
- Concludiamo che per entrambi i versi della velocità dell'elettrone c'è un momento di dipolo aggiuntivo
 - Anche per un atomo con due elettroni con due orbite percorse in senso opposto
 - Un atomo che inizialmente ha momento angolare e momento magnetico nulli
 - ullet Acquista un momento di dipolo magnetico pari a $2~\Delta {
 m m}$
 - Analogo all'atomo sferico che si deforma e acquista un dipolo elettrico



$$\Delta \mathbf{m} = -rac{q^2r^2}{4M}\mathbf{B}_1$$



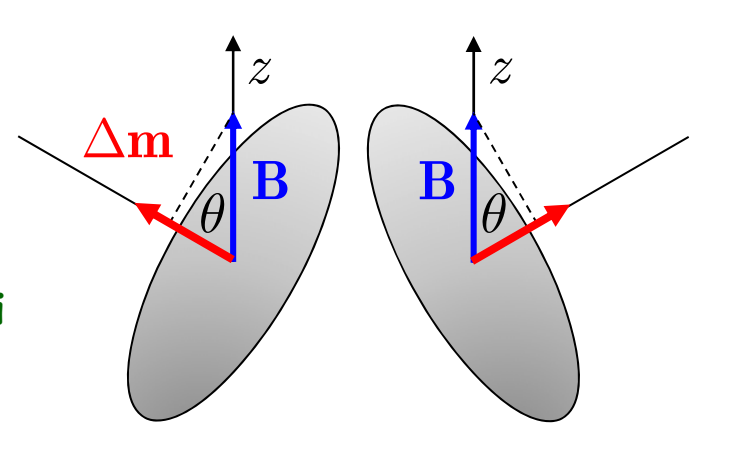
$$\Delta \mathbf{m} = -rac{q^2 r^2}{4M} \mathbf{B}_{\!\scriptscriptstyle 1}$$

- Abbandoniamo l'ipotesi che l'orbita sia perpendicolare al campo magnetico
 - ullet La proiezione del campo magnetico sull'asse perpendicolare al piano dell'orbita è $B{\cos} heta$

$$\Delta \mathbf{m} = \frac{q^2 r^2}{4M} |\mathbf{B}| \cos \theta$$



$$\Delta m_z = \Delta m \cos \theta = \frac{q^2 r^2}{4M} |\mathbf{B}| \cos^2 \theta$$



- ullet La grandezza $r\cos heta$ è la proiezione del raggio dell'orbita sul piano $x{-}y$
- Mediando su tanti atomi

$$r^2 \cos^2 \theta = \overline{x^2 + y^2} = \overline{x^2} + \overline{y^2}$$

D'altro canto

$$\overline{r^2} = \overline{x^2 + y^2 + z^2}$$
 $\overline{x^2} = \overline{y^2} = \overline{z^2}$ $\overline{r^2} = 3\overline{x^2}$ $\overline{x^2} = \frac{r^2}{3}$

• Utilizzando questo risultato

$$\overline{r^2 \cos^2 \theta} = 2\overline{x^2} \qquad \overline{r^2 \cos^2 \theta} = \frac{2}{3}\overline{r^2}$$

$$\Delta \mathbf{m} = -\frac{q^2 \overline{r^2}}{6M} \mathbf{B}$$

- ullet Infine consideriamo un atomo in cui ci sono Z elettroni $(q=e,\,M=m_e)$
 - Il momento magnetico che l'atomo acquista è

Il momento magnetico che l'atomo acquista è
$$\overline{R_{\scriptscriptstyle 0}^2} = \frac{1}{Z} \sum_{k=1}^Z \overline{r_{\scriptscriptstyle k}^2}$$

$$\Delta \mathbf{m} = \sum_{k=1}^Z \Delta \mathbf{m}_k = -\sum_{k=1}^Z \frac{e^2 \overline{r_{\scriptscriptstyle k}^2}}{6m_{\scriptscriptstyle 0}} \mathbf{B} = -\frac{e^2}{6m_{\scriptscriptstyle 0}} \mathbf{B} \sum_{k=1}^Z \overline{r_{\scriptscriptstyle k}^2} = -\frac{e^2 Z \overline{R_{\scriptscriptstyle 0}^2}}{6m} \mathbf{B}$$

- \bullet Possiamo adesso calcolare il momento magnetico che acquista un volume V di materia che contiene n atomi per unità di volume $n=\frac{\rho}{A}N_{Av}$
 - Il numero di atomi è

$$N=nV=rac{
ho}{A}N_{_{Av}}V_{}=rac{M}{A}N_{_{Av}}_{}$$
 M è la massa del volume V in ${f g}$

• Il momento magnetico è

$$\mathbf{m} = N\Delta\mathbf{m} = -\frac{M}{A}N_{Av}\frac{e^2Z\overline{R_0^2}}{6m_e}\mathbf{B} \qquad \frac{Z}{A} \approx \frac{1}{2} \qquad \mathbf{m} = -\frac{1}{2}MN_{Av}\frac{e^2\overline{R_0^2}}{6m_e}\mathbf{B}$$

ullet Ricordiamo che la forza su un momento magnetico $oldsymbol{\mathrm{m}}$ è (diapositiva 121)

$$\mathbf{F} = \mathbf{\nabla} (\mathbf{m} \cdot \mathbf{B})$$

ullet Notiamo che il verso della forza dipende dal segno di $\mathbf{m}{\cdot}\mathbf{B}$

• Calcoliamo la forza per le sostanze citate nella diapositiva 306

$$\mathbf{F} = \mathbf{\nabla} \left(\mathbf{m} \cdot \mathbf{B} \right) \quad \mathbf{m} = -\frac{1}{2} M N_{Av} \frac{e^2 R_0^2}{6 m_e} \mathbf{B} \qquad \mathbf{m} \cdot \mathbf{B} = -\frac{1}{2} M N_{Av} \frac{e^2 R_0^2}{6 m_e} B^2$$

$$\mathbf{m} \cdot \mathbf{B} = -\frac{1}{2} M N_{Av} \frac{e^2 R_0^2}{6 m_e} B^2$$

$$F_z = -MN_{Av} \frac{e^2 R_0^2}{6m_{\circ}} B \frac{\partial B}{\partial z}$$

- Osserviamo che
 - ullet La forza è proporzionale alla massa e a I^2
 - Il gradiente del campo è negativo, la forza è diretta lungo il verso positivo dell'asse z
 - È una forza repulsiva
- Calcoliamo il modulo

$$F_z = \frac{10^3 \cdot 6.02 \cdot 10^{23} \cdot 1.6^2 \cdot 10^{-38} \cdot 0.53^2 \cdot 10^{-20} \cdot 1.8 \cdot 17}{6 \cdot 9.1 \cdot 10^{-31}}$$

$$F_z = \frac{6.02 \cdot 1.6^2 \cdot 0.53^2 \cdot 1.8 \cdot 17}{6 \cdot 9.1} 10^{-1} = \frac{132.4}{54.6} 10^{-1} = 0.24 \,\text{N}$$

- Riproduce molto bene l'ordine di grandezza delle forze
 - ullet Per valori più accurati occorre il valore esatto di R_0

$$F_z = -MN_{Av} \frac{e^2 \overline{R_0^2}}{6m_e} B \frac{\partial B}{\partial z}$$
 rzionale alla massa e a I^2 campo è negativo, la forza verso positivo dell'asse z oulsiva

$$R_0 = 0.53 \times 10^{-10} \,\mathrm{m}$$
 $e = 1.6 \times 10^{-19} \mathrm{C}$ $N_{Av} = 6.02 \times 10^{23}$ $m_e = 9.1 \times 10^{-31} \,\mathrm{Kg}$ $M = 1 \,\mathrm{Kg}$

Teoria di Langevin del diamagnetismo

- La teoria del diamagnetismo descritta è adottata in molti testi
 - È adottata da Purcell ma non da Mazzoldi
 - Mazzoldi presenta la teoria classica di Langevin basata sulla precessione del momento angolare ${f L}$
 - Il momento della forza sull'elettrone orbitante ne fa precessare il momento angolare $\vec{\mathbf{\omega}}_{\scriptscriptstyle L} = \frac{e}{2m} \mathbf{B}$

$$ec{oldsymbol{\omega}}_{\!\scriptscriptstyle L} = rac{e}{2m_{\!\scriptscriptstyle e}} {f B}$$

ullet La rotazione aggiuntiva genera una corrente Δi

$$\Delta i = -ef_L = -e\frac{\omega_L}{2\pi}$$

ullet L'atomo acquista un momento magnetico aggiuntivo $\Delta {f m}$

$$\Delta \mathbf{m} = \Delta i \pi r^2 = e \frac{\omega_L}{2\pi} \pi r^2 = e \frac{1}{2} r^2 \frac{e}{2m_e} B \qquad \Delta \mathbf{m} = -\frac{e^2 r^2}{4m_e} \mathbf{B}$$

- Osserviamo che in entrambi i casi si tratta di teorie
- qualitative che presentano anche una serie di inconsistenze di natura termodinamica
 - Una teoria rigorosa richiede la meccanica quantistica

